

УДК 533.95

С. А. Никитин, А. Г. Пономаренко

## ДИНАМИКА И ПРОСТРАНСТВЕННЫЕ ГРАНИЦЫ ТОРМОЖЕНИЯ ПЛАЗМЕННОГО ОБЛАКА ВЗРЫВА В ДИПОЛЬНОМ МАГНИТНОМ ПОЛЕ

В рамках идеального МГД-приближения рассмотрим динамику 3-мерного разлета сферического облака разреженной плазмы в вакуум при наличии внешнего неоднородного магнитного поля дипольной структуры. При быстром расширении плазмы, например за счет выделившейся при взрыве энергии, на стадии разлета, близкого к радиальному, происходит эффективное торможение границ облака в результате взаимодействия индуцированных поверхностных токов с магнитным полем. Необходимо найти конфигурацию и положение фронта плазмы в зависимости от времени, а также установить пределы ее распространения, обусловленные эффектом торможения. Интерес к этой проблеме связан прежде всего с изучением нестационарных процессов взрывного характера в космической плазме [1], в частности с анализом глобальной устойчивости магнитосферы Земли при оценках эффективности взрывных методов ее защиты от столкновений с астероидами и кометами [2, 3].

В подобной постановке задача исследована только в самом простом случае — при однородном внешнем поле [4]. Случай с дипольным полем рассматривался в [5] для сравнительно малых энергий взрыва и соответственно малых отклонений формы плазменного образования от сферы. Оценки размеров и конфигурации области торможения в поле точечного диполя проведены нами в [6]. В целом проблема мало изучена из-за отсутствия по причине сложности создания необходимых 3-мерных нестационарных численных моделей.

Предлагаемое исследование основано на простых соотношениях для обобщенных характеристик движения — энергии и давления — и не учитывает роли магнитной диффузии, что позволяет найти основные закономерности 3-мерной динамики торможения при минимальном числе исходных параметров. Проводится сравнение расчетной модели с результатами эксперимента по изучению разлета облаков лазерной плазмы в дипольном поле на стенде КИ-1 [7]. Цель такого подхода заключается в оценке возможностей гидродинамического метода и получении предварительных данных, необходимых для построения более строгих моделей.

1. Анализ модели торможения. Следуя [4], где рассмотрена задача о расширении сверхпроводящей сферы во внешнем однородном магнитном поле, нетрудно показать, что работа пондеромоторных сил  $A$  над частицами идеально проводящего плазменного облака меняющейся формы за время его расширения  $t$  в поле произвольной конфигурации равна работе сил магнитного давления  $B_s^2/8\pi$  на его поверхности  $S$ , записанной в виде

$$(1.1) \quad A = -\frac{1}{8\pi} \int_0^t \int_S B_s^2 (ds \cdot v) dt,$$

где  $ds = n_s ds$  — элемент поверхности ( $n_s$  — вектор нормали), задаваемой радиусом-вектором  $r_s = r_s(t)$  относительно точки инжекции (ТИ) облака;  $v = dr_s/dt$  — скорость перемещения этого элемента;  $B_s = B_s(r_s)$  — возмущенное магнитное поле на его поверхности. Выражение (1.1) учитывает, что для условий полного вытеснения поля из объема, занимаемого плазмой ( $B_s \cdot n_s = 0$ ), поверхностная плотность мощности пондеромоторных сил пропорциональна скалярному произведению  $n_s \cdot v$ . В [4] аналогичный фактор не возникает, так как в предположении сферичности облака и строго радиального характера движения

$$ds \cdot v / |v| = ds.$$

Кинетическая энергия облака меняется со временем согласно уравнению

$$\mathcal{E}(t) = \mathcal{E}_0 + A(t)$$

( $\mathcal{E}_0$  — начальная энергия радиального разлета при  $t = 0$ ). Динамика взаимодействия плазмы с полем зависит также от баланса газодинамического и магнитного давлений на граничной поверхности:

$$2m_i n_i |(w - v) n_s|^2 = B_s^2 / 8\pi.$$

Здесь  $w$  и  $n_i$  — скорость и плотность ионов в пограничном слое Чепмена — Ферраро;  $m_i$  — ионная масса. В приближении радиального разлета ( $v = e_r v$ ,  $w = e_r w(r_s)$ ,  $e_r$  — единичный радиальный орт)

$$(1.2) \quad 2m_i n_i (w - v)^2 \cos^2 \chi = B_s^2 / 8\pi, \quad \cos \chi = e_r \cdot n_s.$$

В отличие от [4] уравнение баланса давлений используется в более общем виде, так как (1.2) содержит множитель  $\cos^2 \chi$ , зависящий от угла наклона плазменного потока к нормали граничной поверхности  $\chi$ .

Движению плазмы в произвольном направлении из точки инжекции в малый телесный угол  $d\Omega$  отвечает уравнение дифференциального энергетического баланса, которое при сферической симметрии начальных условий имеет вид

$$(1.3) \quad d\mathcal{E}/d\Omega = \mathcal{E}_0/4\pi + dA/d\Omega.$$

Полагая при  $t = 0$ , что  $w = v = v_0$ , и используя обычное приближение инерциального разлета, в котором  $n_i = \text{const}/r_s^3$ , а распределение скорости  $\sim r/r_s$ , найдем  $\mathcal{E}_0 = 0,3Mv_0^2$  ( $M$  — совокупная масса облака). Выразим  $d\mathcal{E}/d\Omega$  в том же приближении (т. е. не учитывая эффект группирования плазмы вблизи граничной поверхности в результате торможения) через скорость ионов на фронте  $w$ :

$$(1.4) \quad d\mathcal{E}/d\Omega = 0,3Mw^2/4\pi.$$

Объединение (1.1) — (1.4) дает уравнение движения границы в заданном направлении (в подобном виде, но без учета фактора  $\cos^2 \chi$  оно используется также в [8]):

$$(1.5) \quad dr_s/dt = [( \mathcal{E}_0 + 4\pi dA/d\Omega ) / 0,3M ]^{1/2} - (B_s^2 V / 16\pi M \cos^2 \chi)^{1/2},$$

$$4\pi dA/d\Omega = - \frac{1}{2} \int_0^{r_s} B_s^2 \cos \chi r^2 dr.$$

Первое слагаемое в (1.5) описывает изменение кинетической энергии разлета, второе связано с динамическим балансом давлений и зависит от эффективного объема соответствующего элемента облака  $V \sim n_i^{-1}$ . Из условия  $dr_s/dt = 0$  можно найти радиус границы полного торможения  $r_*$ . В модели с расширяющейся сферой в однородном поле  $B_0$  этот радиус дается выражением [4]

$$r_* = R_B = (3\mathcal{E}_0/B_0^2)^{1/3}$$

и является асимптотическим пределом при бесконечно большом времени полного торможения (в этом случае используют понятие конечного времени торможения  $\tau_*$ , при котором  $r_*/R_B$  близко к единице). В общем случае  $r_*$  зависит от направления, причем время полного торможения может стать конечным в результате быстрого увеличения второго слагаемого в (1.5) при изменении  $V$  и  $\cos^2 \chi$ . Очевидно, что параметр  $V$  должен соответствовать действительному объему облака на поздних стадиях разлета после значительного перемешивания траекторий вследствие отражений частиц от затормозившейся границы. В частности, такое определение  $V$  использовано в [8], где исследуется эволюция сверхпроводящего плазменного эллипсоида во внешнем однородном поле (торможение сферического облака является фактически начальным этапом в этой модели). В нашем случае при описании стадии торможения достаточно ограничиться «локальным» определением  $V \sim r_s^3$ , применяемым независимым образом для каждого из направлений.

На основе уравнения движения (1.5) рассмотрим задачу расширения плазменного облака в поле магнитного диполя, пользуясь простыми приближениями возмущенного поля.

2. Зависимость границ торможения от начальной энергии облака. Оценим размеры и конфигурацию области торможения (ОТ), в пределах которой  $dr_s/dt \geq 0$ , в зависимости от единственного параметра — начальной энергии разлета  $\mathcal{E}_0$ . Для этого, во-первых, приравняем (1.5) нулю. Во-вторых, пренебрежем влиянием баланса давлений (по оценкам, в рассматриваемом подходе оно мало из-за сильной неоднородности внешнего поля), что равносильно приближению нулевой энергии плазмы в конце стадии торможения ( $w = v = 0$ ). Наконец, в-третьих, положим  $\cos \chi = 1$ . Получим уравнение дифференциального баланса энергии в виде

$$(2.1) \quad d\mathcal{E}_0/d\Omega \approx \frac{1}{8\pi} \int_0^{r_*} B_s^2 r_s^2 dr_s.$$

В «квазисферическом» приближении исходное поле  $B_d(r_s)$  можно связать с возмущенным полем  $B_s(r_s)$  соотношением

$$(2.2) \quad B_s^2 = k_s B_d^2 = 3B_d^2/2,$$

которое имеет место для среднего по угловой зависимости квадрата поля на поверхности сверхпроводящей сферы, помещенной в однородное поле [4]. В общем случае коэффициент «поджатия»  $k_s$  — переменная локальная характеристика, определяемая формой плазменного образования в данный момент времени. Соотношение (2.2) можно и удобно использовать по следующим соображениям. При больших масштабах ОТ эффективное значение  $k_s$  определяется усреднением отношения  $B_s^2/B_d^2$  по времени с учетом значительной перестройки структуры поля и формы граничной поверхности. Кроме того, из-за сильной зависимости (2.1) от радиуса (для сферы в однородном поле  $d\mathcal{E}_0/d\Omega \sim R_B^3$ ) даже сравнительно заметная вариация  $k_s$  не может привести к качественному изменению результатов оценок. Наконец, в пределе слабого проявления неоднородности (при малых размерах облака —  $R_B \ll R_0$ , см. ниже) соотношения (2.1) и (2.2) дают известные результаты [4].

В дальнейшем используем следующие обозначения. Пусть  $m$  — магнитный момент диполя,  $R_0$  — расстояние от его центра до ТИ, при этом  $\lambda_0$  — широтный угол, определяющий положение ТИ относительно экваториальной плоскости (ЭП) диполя. Введем углы  $\lambda = \pi/2 - \theta$  и  $\varphi$ , где  $\theta$  и  $\varphi$  — полярный и азимутальный углы сферической системы координат для правой декартовой тройки  $XYZ$  с началом в ТИ, у которой ось  $X$  направлена вдоль «оси разлета», соединяющей ТИ и диполь, а ось  $Z$  лежит в его меридиональной плоскости. Используем также безразмерные величины радиуса  $b = r_s/R_0$  и энергии

$$\kappa = 3\mathcal{E}_0 R_0^3/m^2 = (R_B/R_0)^3.$$

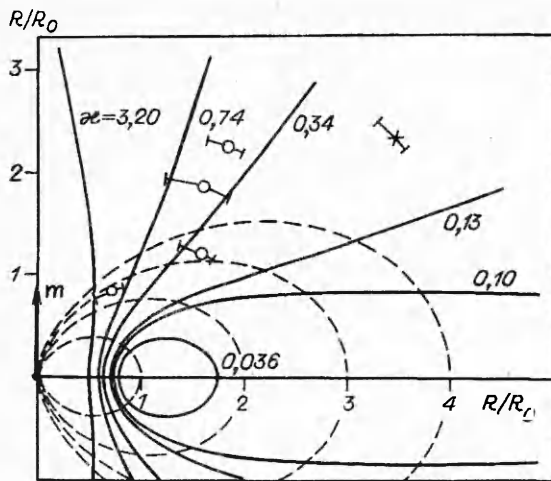


Рис. 1

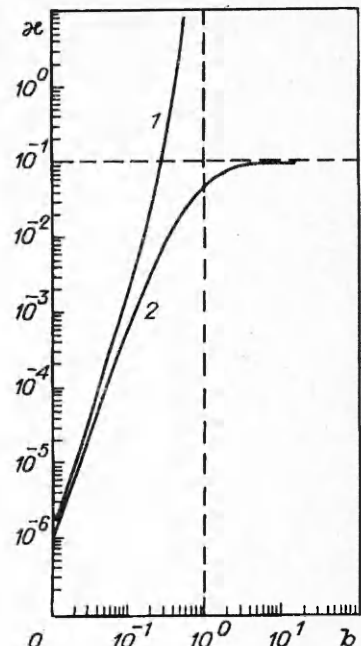


Рис. 2

Это дает возможность получить из (2.1) нормализованное интегральное уравнение граничной поверхности ОТ [6] (коэффициент  $3/4$  перед интегралом опущен как малосущественный):

$$(2.3) \quad \kappa = 3 \int_0^{b(\lambda_0, \lambda, \varphi)} \{3 \sin^2 \lambda_0 [\xi (\operatorname{ctg} \lambda_0 \sin \lambda + \cos \lambda \cos \varphi) + 1]^2 / Q^4 + Q^{-3}\} \xi^2 d\xi,$$

$$Q = 1 + 2\xi \cos \lambda \cos \varphi + \xi^2.$$

Здесь  $R_B = (3\mathcal{E}_0 / B_{d0}^2)^{1/3}$  — приведенный радиус торможения, отвечающий значению поля  $\bar{B}_{d0}$  в точке с радиусом  $R_0$  на экваторе. Рассмотрим для определенности случай экваториального расположения ТИ ( $\lambda_0 = 0$ ). На рис. 1 показаны меридиональные сечения ( $\varphi = 0$ ) ОТ, рассчитанные из уравнения (2.3) при разных значениях параметра  $\kappa$ , который назовем энергетическим критерием взаимодействия. Соответствующие экваториальные сечения ОТ ( $\lambda = 0$ ) отличаются несколько большими размерами поперек «оси разлета» вследствие меньшей величины эффективного магнитного давления. Критическое значение параметра  $\kappa$  определяется согласно [6] как

$$(2.4) \quad \kappa_c = \lim_{\substack{b \rightarrow \infty \\ \lambda = \varphi = 0}} \kappa(b) = 3 \int_0^\infty \xi^2 d\xi / (1 + \xi)^5 = 1/10.$$

Граница ОТ в направлении спада поля отодвигается в бесконечность при  $\kappa \geq \kappa_c$ . Происходит «прорыв» плазмы в конус, определяемый расчетным сечением ОТ (см. рис. 1). В случае  $\kappa \ll \kappa_c$  имеет место режим «квазизахвата», когда значительное торможение наблюдается и в направлении спадания поля. На рис. 2 построены кривые торможения  $\kappa(b)$ , отвечающие решениям уравнения (2.3) в двух направлениях ( $\lambda_0 = 0$ ) — к диполю при  $\lambda = \pi$ ,  $\varphi = 0$  ( $b_+$  — кривая 1) и от диполя при  $\lambda = \varphi = 0$  ( $b_-$  — кривая 2):

$$\kappa = 3 \left| \frac{1}{3} (1 + b_\pm)^{-3} - \frac{1}{2} (1 \mp b_\pm)^{-4} + \frac{1}{5} (1 \mp b_\pm)^{-5} - \frac{1}{30} \right|.$$

В случае расположения ТИ вне экваториальной плоскости ( $\lambda_0 \neq 0$ ) значение  $\kappa_c$ , определяемое подобно (2.4) при  $\lambda = \varphi = 0$ , растет как  $(1 + 3 \sin^2 \lambda_0)/10$ , что дает  $\kappa_c \rightarrow 0,4$  при  $\lambda_0 \rightarrow \pi/2$ . В то же время критерием «прорыва» строго поперек силовых линий при  $\lambda_0 = \pi/2$  служит согласно (2.3)

соотношение  $\kappa \gtrsim \kappa_c = 15\pi/32$  ( $\lambda = \pi/2, \varphi = 0$  или  $\lambda = 0, \varphi = \pi/2$ ). Поэтому обобщенной оценкой для высоких широт ( $\lambda_0 \rightarrow \pi/2$ ) можно считать  $\kappa_c \sim 1$ . Отметим, что конус «прорыва» при  $\lambda_0 \neq 0$  ориентирован вдоль линии градиента внешнего поля, которая в данном случае не совпадает с «осью разлета».

При малых радиусах торможения вдоль «оси разлета» имеем ( $\lambda_0 = 0, b \ll 1$ )

$$b_{\pm} \approx [\kappa/(1 \pm 9\kappa^{1/3}/2)]^{1/3},$$

откуда выводим степень асимметрии границ торможения

$$\eta = 1 - b_+/b_- \approx 3\kappa^{1/3}.$$

В частности, для параметров натурного эксперимента [9] оценка  $\eta \sim 5\%$  ( $\kappa \sim 10^{-5}$ ), а для [10]  $\eta \sim 50\%$  ( $\kappa \sim 10^{-2}$ ). В режиме «квазизахвата» ( $\kappa \ll \kappa_c$ ) за характерное время торможения  $\tau_* \sim R_b/v_0$  центр масс облака смещается на расстояние  $\Delta R \sim \eta \kappa^{2/3} R_0/2 \ll R_0$  и, следовательно, приобретает скорость  $u \sim v_0 \kappa^{1/3}$ . Такую же оценку можно получить для скорости эквивалентного облаку точечного магнитного диполя [5], ускоряемого градиентом внешнего поля и имеющего момент, который на указанном масштабе времени меняется от нуля до  $\mu = -\frac{1}{2} B_{d0} R_0^3 \kappa$ . Таким образом, оценки дают правильное представление о размерах облака и на стадии «всплыивания» без прямого обращения к моделям движения его как целого ( $\kappa \ll \kappa_c$ ). В другом предельном случае (при  $\kappa \gtrsim \kappa_c$ ) расчетные сечения ОТ имеют смысл интегральных по времени пределов распространения плазмы во внешнем дипольном поле.

**3. Метод расчета динамики торможения.** При исследовании динамики плазменного фронта с помощью уравнения (1.5) требуется учесть особенности распределения возмущенного поля, не принятые во внимание при оценке границ торможения. Отмеченная выше слабая чувствительность проведенных оценок к значению коэффициента «поджатия»  $k_s$  относится прежде всего к режиму «прорыва», т. е. к случаю крупномасштабной ОТ ( $R_b \gtrsim R_0$ ). Локальное поведение  $k_s$  становится существенным при  $\kappa < \kappa_c$ , т. е. на сравнительно малых пространственных масштабах. В частности, там, где исходные силовые линии перпендикулярны граничной поверхности, значение  $k_s$  вследствие диамагнетизма плазмы близко к нулю, что приводит к заметному ослаблению эффекта торможения. Для учета таких особенностей применим приближение возмущенного поля в виде

$$(3.1) \quad B_s \approx -\frac{3}{2} [\mathbf{n}_s \times [\mathbf{n}_s \times \mathbf{B}_d]].$$

Соотношение (3.1) является строгим для случая сверхпроводящей сферы в однородном поле  $B_0 = \text{const}$ , если им заменить локальное поле диполя  $B_d(r)$ . Данное приближение основано на тождестве общего вида [11]

$$B_s(r_s) = 2B_d(r_s) + \int_S [\mathbf{n}_s \times \mathbf{B}_s] \times \mathbf{r}' ds / 2\pi |\mathbf{r}'|^3,$$

в котором присутствует интеграл, необходимый для учета кривизны токовой поверхности  $S$  (вектор  $\mathbf{r}'$  проведен от элемента тока в точку наблюдения). При этом он обеспечивает зануление нормальной компоненты результирующего поля ( $B_s \mathbf{n}_s = 0$ ) и поправляет вклад первого слагаемого в тангенциальную компоненту, равный  $-2 [\mathbf{n}_s \times [\mathbf{n}_s \times \mathbf{B}_d]]$  и связанный с током в касательной плоскости к поверхности  $S$  в точке наблюдения.

В «главном» меридиональном сечении облака, проходящем через центр диполя и ТИ и совпадающем с плоскостью симметрии, можно рассматривать (1.5) как систему уравнений движения элементов плазменной поверхности в различных по углу  $\lambda$  направлениях. Согласно (3.1), это секторное приближение определено для самосогласованного поля, поскольку  $\cos \chi = \mathbf{n}_s \cdot \mathbf{e}$ , зависит от геометрии границы в целом. На каждом временном шаге интегрирования данной системы по совокупности радиусов разлета  $\{r_{sj}\}$  вычисляется вектор нормали ( $j$  — номер сектора)

$$\mathbf{n}_s(\lambda_j) = -\nabla F / |\nabla F|,$$

где  $F = r - r_s(\lambda, t) = 0$  — уравнение плазменной границы в указанном сечении. Ниже приведены результаты подобного расчета динамики торможения для параметров эксперимента с облаками лазерной плазмы на установке КИ-1.

4. Сравнение с данными эксперимента. Для сравнительного анализа используем данные эксперимента [7], в котором квазисферические облака лазерной плазмы создавались путем двустороннего симметричного воздействия импульса CO<sub>2</sub>-лазера на капролактамовый шарик малых размеров, помещенный в вакуумной камере вблизи токовой катушки с амплитудой момента  $|m| \leq 10^7$  Гс·см<sup>3</sup>.

На рис. 3 показаны фотографии свечения лазерной плазмы, полученные с помощью чувствительного электронно-оптического преобразователя (ЭОП) в методике с напуском в камеру слабого нейтрального водородного фона [7] (свечение плазмы поддерживается за счет возбуждения ионов облака C<sup>+</sup> в процессах перезарядки). С временным разрешением  $\sim 10$  нс зарегистрировано главное меридиональное сечение облака в момент  $t = 0,7$  мкс от начала расширения в ситуации при  $B_d = 0$  (рис. 3, а) и в тот же момент при  $B_d \neq 0$  (рис. 3, б). Инжекция происходила в ЭП ( $\lambda_0 = 0$ ) на радиусе  $R_0 = -22$  см в точке с полем  $|B_{d0}| = 10^3$  Гс. Кинетическая энергия облака (по данным электрических зондов Ленгмюра [12])  $\mathcal{E}_n = 13$  Дж, начальная скорость разлета  $v_0 \approx 2,2 \cdot 10^7$  см/с, полное число заряженных частиц  $\sim 10^{17}$ . Край свечения на ЭОПограммах соответствует фронту облака, где концентрация ионов падает до  $\leq 10^{12}$  см<sup>-3</sup>. Из сравнения рис. 3, а и 3, б следует, что граница облака тормозится по всем направлениям в согласии с теоретическим представлением о режиме «квазизахвата» (соответствующее значение параметра  $\kappa \approx 0,036 < \kappa_c = 1/10$ ). Момент  $t = 0,7$  мкс является промежуточным на стадии торможения в данном случае, так как расчетная граница ОТ (изображена на рис. 1 кривой для  $\kappa = 0,036$ ) достигается плазмой в направлении к диполю за  $\sim 0,3$  мкс, от диполя за  $\sim 1$  мкс и поперек «оси разлета» за  $\sim 0,5$  мкс. Меридиональное сечение при  $t = 0,7$  мкс рассчитано по уравнению (1.5) для 16 секторов в полуплоскости  $0 \leq \lambda \leq \pi$  (при  $\pi \leq \lambda \leq 2\pi$  фронт зеркально-симметричен) и представлено заштрихованной областью на рис. 4. Здесь же для сравнения штрихами нанесена контурная линия, отвечающая приблизительно половинному уровню амплитуды свечения на фронте ЭОПограммы рис. 3, б. Данные расчета и наблюдения практически совпадают на «оси разлета». В направлении поперек оси также имеется их количественное соответствие при том, что расчетный фронт несколько отстает от фронта свечения. Серповидная форма меридионального сечения объясняется наличием двух областей минимального давления, которые при  $t = 0$  отвечают направлениям  $\lambda = \pm\pi/2$ , а затем смещаются в сторону диполя,

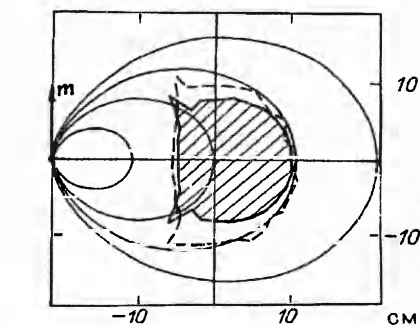
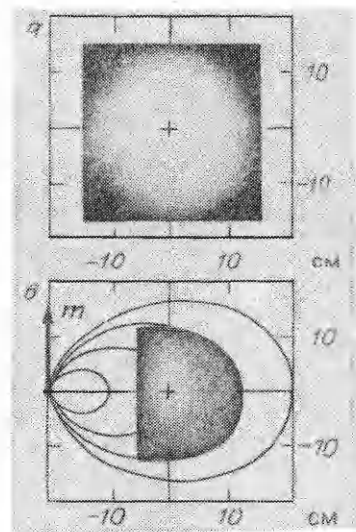


Рис. 4

Рис. 3

следуя за искривлением исходных силовых линий (см. рис. 4). Добавим, что при наблюдении свечения плазмы в экваториальной плоскости данные ЭОПограмм также показывают соответствие расчетных и измеренных границ облака на стадии торможения в режиме «квазизахвата».

Режим «прорыва» исследовался в основном с помощью электрических зондов, измеряющих угловое распределение радиального потока плазмы в единицу телесного угла  $dN/d\Omega$  в меридиональной плоскости диполя. В отсутствие поля ( $B_d = 0$ ) зонды показывают относительно изотропный характер разлета из области взаимодействия лазерного излучения с веществом мишени. При  $B_d \neq 0$  в результате отражения потока от «магнитной стенки» на границе ОТ зонд, находящийся в пределах конуса ОТ ( $\chi > \chi_c$ ), будет регистрировать увеличение  $dN/d\Omega$  в сравнении с ситуацией без поля. Если зонд выходит за пределы ОТ, поток частиц на него должен заметно уменьшаться.

На рис. 1 показаны положения электрических зондов, отвечающие уровню половинного ослабления потока  $dN/d\Omega$  в эксперименте с параметром  $\chi \approx 0,7$  (кружки) и  $\chi \approx 0,13$  (крестик). Демонстрируемая на рис. 1 погрешность экспериментальных точек связана с ошибкой определения этого уровня по углу наблюдения. В совокупности такие точки должны описывать границу ОТ при фиксированной начальной энергии облака  $\mathcal{E}_0$ . Точность определения  $\mathcal{E}_0$  в эксперименте была не хуже 50 %, поэтому сравнение приведенных данных с расчетными сечениями ОТ на рис. 1 позволяет сделать вывод, что теоретические представления о конусе «прорыва» в указанных пределах соответствуют наблюдениям.

Предварительные измерения, выполненные с помощью системы 2-компонентных магнитных зондов, показали наличие полного диамагнитного эффекта в облаке лазерной плазмы в начале разлета. К концу стадии торможения происходит аномально быстрое проникновение поля в плазму на масштабе, заметном по сравнению с характерным радиусом торможения  $R_0\chi^{1/3}$ , при сохранении близкого к нулю поля в центральной части облака. Тем не менее при анализе эксперимента с интересующей нас точки зрения влиянием диффузии еще можно пренебречь, поскольку приведенные результаты демонстрируют достаточно эффективное торможение плазмы неоднородным полем, а также возможность приближенного описания ее динамики в модели с идеальной проводимостью.

5. Обсуждение результатов. Найден энергетический критерий взаимодействия плазменного облака взрыва с дипольным магнитным полем, определяемый параметром  $\chi = \mathcal{E}_0/\mathcal{E}_m$ , где  $\mathcal{E}_m$  — интеграл энергии поля диполя за пределами сферы радиуса  $R_0$  ( $\mathcal{E}_m = m^2/3R_0^3$ ). В случае экваториальной инжекции при  $\chi \geq \chi_c = 1/10$  происходит «прорыв» плазменного фронта поперек линий поля, а при  $\chi \ll \chi_c$  реализуются условия для «квазизахвата» плазмы на масштабе  $\sim R_B = R_0\chi^{1/3}$  с одновременным переходом стадии торможения границ в стадию ускорения центра масс за счет градиента магнитного давления. Получено обобщенное уравнение граничной поверхности и рассчитаны сечения ОТ для различных значений  $\chi$ . В режиме «прорыва» границам ОТ отвечают границы разлета плазмы в дипольном поле, так как, согласно условию (1.2), плазменный поток в результате значительного замедления фронта отражается от «магнитной стенки», оставаясь внутри «конуса» ОТ (см. рис. 1). В секторном приближении и с учетом самосогласованного характера изменений геометрии облака и магнитных возмущений рассчитана динамика торможения плазменного фронта. При этом используется сравнительно простая методика приближенного определения вектора возмущенного поля на поверхности идеально проводящего облака произвольной формы.

Результаты расчетов удовлетворительно согласуются с проанализированными данными эксперимента на стенде КИ-1. Подтвержден предсказываемый в рамках идеальной МГД-модели характер движения плазмы на начальной стадии торможения в зависимости от параметра  $\chi$ .

Авторы выражают признательность участникам эксперимента на стенде КИ-1 Ю. П. Захарову, А. М. Орищичу, В. М. Антонову и В. Н. Снытникову за активное обсуждение результатов данной работы.

## ЛИТЕРАТУРА

1. Геворкян Л. Б., Оришич А. М., Пономаренко А. Г. и др. О развитии методов моделирования некоторых астрофизических явлений в лабораторном эксперименте/Физическая газодинамика: Сб. науч. тр. Аэрофизические исследования ИТПМ СО АН СССР.— Новосибирск, 1976.— Вып. 6.
2. Захаров Ю. П., Оришич А. М., Пономаренко А. Г. Глобальные возмущения магнитосферы Земли и экологический прогноз // Тез. докл. 2-го науч.-техн. сем. «Космос и экология».— Туапсе, 1992.
3. Zakharov Yu. P., Nikitin S. A., Orishich A. M., Ponomarenko A. G. Laboratory simulation on the magnetospheric hazard processes // Hazards due to Comets and Asteroids: Abstrs of conf., Tucson, USA, 1993.
4. Райзер Ю. П. О торможении и превращениях энергии плазмы, расширяющейся в пустом пространстве, в котором имеется магнитное поле // ПМТФ.— 1963.— № 6.— С. 19—28.
5. Метелкин Е. В. О поляризации плазменного облака, расширяющегося в неоднородном магнитном поле // ПМТФ.— 1989.— № 3.— С. 12—18.
6. Пономаренко А. Г., Никитин С. А. Оценка размеров и конфигурации области торможения облака диамагнитной плазмы, расширяющейся в поле магнитного диполя // Отчет ИТПМ СО АН СССР.— Новосибирск, 1989.— № 1937.
7. Zakharov Yu. P., Orishich A. M., Ponomarenko A. G., Snytnikov V. N. Laboratory study of collisionless interaction processes between supernova-like ejectas and magnetized background under conditions of laser-produced plasma experiments // Int. Conf. on Plasma Science, Innsbruck, 1992.— (Europhys. Conf. Abstr. Ser.— 1992.— V. 16C, pt. 3.— P. 1689—1692).
8. Метелкин Е. В., Сорокин В. М. Геомагнитные возмущения, генерируемые разледом плазменных образований // Геомагнетизм и аэрономия.— 1988.— Т. 28.— С. 756—759.
9. Операция «Аргус».— М.: Атомиздат, 1960.
10. Операция «Морская звезда».— М.: Атомиздат, 1964.
11. Акасофу С. И., Чепмен С. Солнечно-земная физика.— М.: Мир, 1975.— Ч. 2.
12. Захаров Ю. П. Особенности зондовых методов исследования взаимодействия потоков лазерной плазмы с замагниченной фоновой средой // Мощные CO<sub>2</sub>-лазеры для плазменных экспериментов и технологий/Под ред. А. Г. Пономаренко.— Новосибирск, 1986.— С. 125—132.

г. Новосибирск

Поступила 29/III 1993 г.

УДК 533.6.011:519.6+535.34

A. B. Еремин, B. C. Зиборов

## РЕКОМБИНАЦИОННОЕ ИЗЛУЧЕНИЕ НЕРАВНОВЕСНОЙ СТРУИ ДИССОЦИИРОВАННОГО CO<sub>2</sub>

Экспериментально исследованы эмиссионные свойства рекомбинационной полосы (<sup>1</sup>B<sub>2</sub> → X<sup>1</sup>Σ<sub>g</sub><sup>+</sup>) CO<sub>2</sub> в колебательно-неравновесной струе смеси 20 % CO<sub>2</sub> + 80 % Ar в диапазоне температур торможения от 2600 до 4600 K. Анализ зависимостей заселенностей различных энергетических состояний электронно-возбужденных молекул CO<sub>2</sub> (<sup>1</sup>B<sub>2</sub>) от поступательной и колебательной температур потока и концентраций продуктов диссоциации CO и O определил основные характеристики механизма формирования функции распределения оптически активных молекул. Показано, что спектральное распределение интенсивностей рекомбинационного излучения CO<sub>2</sub> в исследованном диапазоне режимов может быть описано в предположении равновесия между распределением оптически активных молекул и полной энергией реагентов при двухчастичной рекомбинации CO (<sup>1</sup>Σ, ν) + O (<sup>3</sup>P).

В [1, 2] экспериментально исследован процесс обеднения высоковозбужденных состояний в диссоциирующем углекислом газе. Цель данной работы — экспериментальное изучение процесса, обратного по отношению к исследованному в [1, 2], — перезаселения электронно-возбужденных состояний CO<sub>2</sub> при неравновесной рекомбинации в сверхзвуковой струе.

© А. В. Еремин, В. С. Зиборов, 1993